

# VIGILANCIA SINÓPTICA DE SUDAMÉRICA



**INFORME**  
MAYO 2026



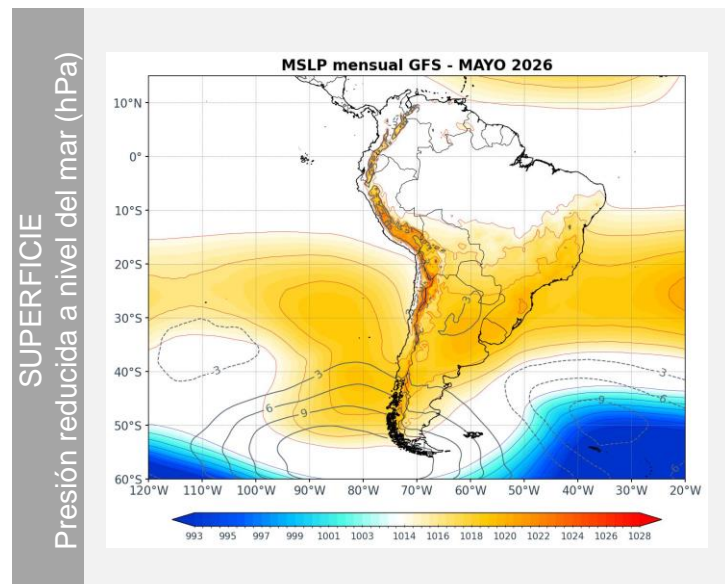
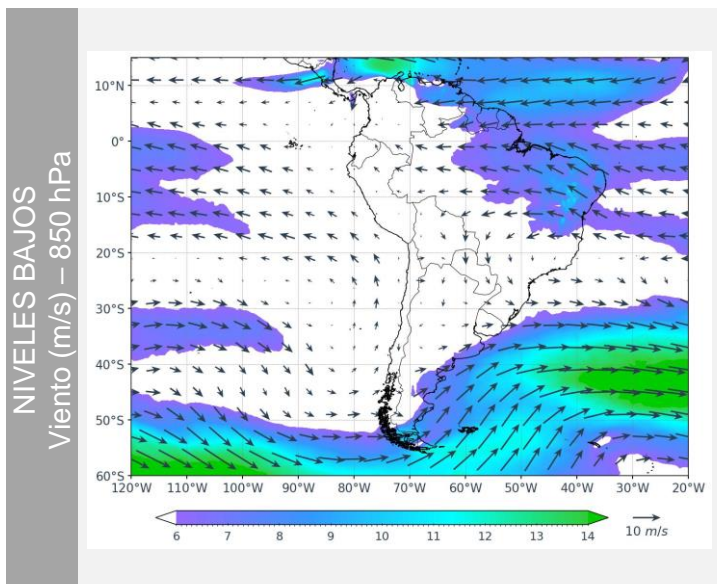
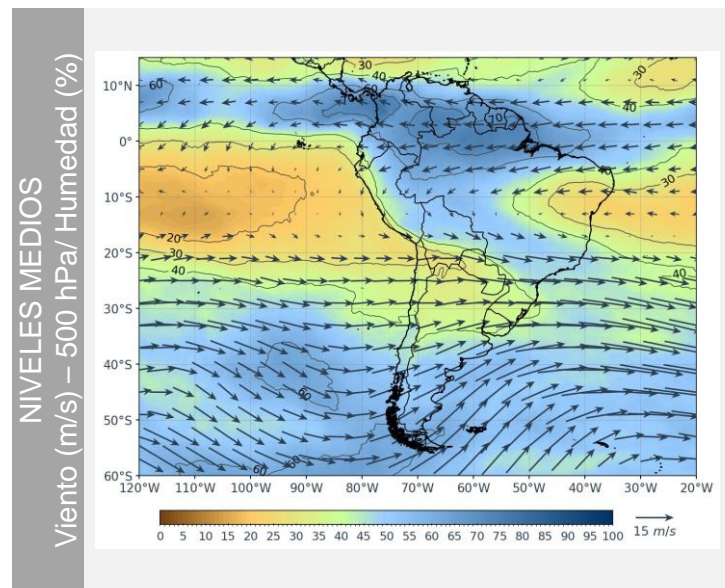
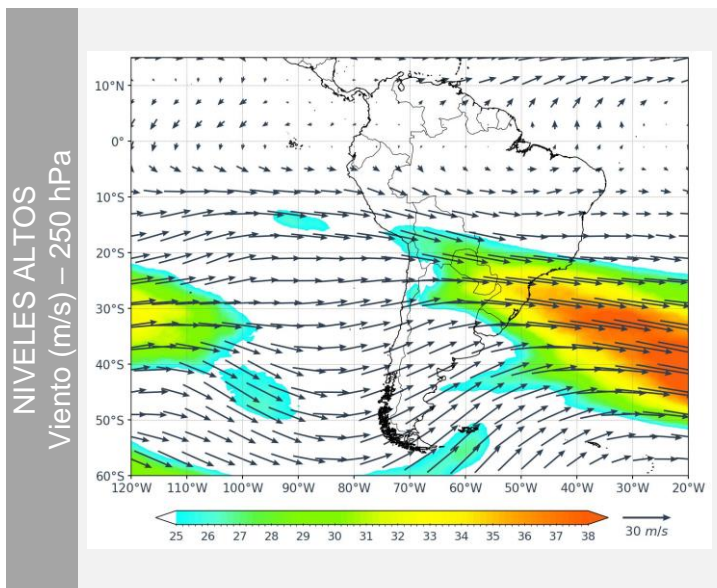
**PRÓXIMO INFORME  
A ACTUALIZAR**  
JUNIO 2026

En niveles medios, el mayor contenido de humedad se concentró sobre la

En superficie, el APS presentó una configuración zonal con núcleo ubicada

En niveles bajos, predominó una circulación anticiclónica asociada al APS

# ANÁLISIS MENSUAL



En niveles altos, predominó una circulación zonal sobre gran parte de Sudamérica, con flujos del oeste desde los 15°S hacia latitudes mayores. Asimismo, se observó una onda de gran escala con una vaguada sobre el sur de Chile y Argentina. Por otro lado, el Jet Subtropical (JS) se presentó acoplado al ramal norte del Jet Polar (JP), extendiéndose desde el Pacífico suroriental hacia el Atlántico sur entre los 20°S y 35°S, alcanzando velocidades promedio máximas cercanas a los 38 m/s.

En niveles medios, el mayor contenido de humedad se concentró sobre la Amazonía occidental y central, con valores entre 70 % y 90 %, abarcando principalmente Perú, Brasil, Colombia, Ecuador y Venezuela. Asimismo, predominaron flujos de componente este sobre el norte de Sudamérica, favoreciendo el transporte de humedad desde la cuenca amazónica hacia la vertiente oriental de los Andes. Por otro lado, sobre el Pacífico oriental subtropical y sectores del centro-sur del continente prevalecieron condiciones relativamente más secas, con valores de humedad inferiores al 50 %.

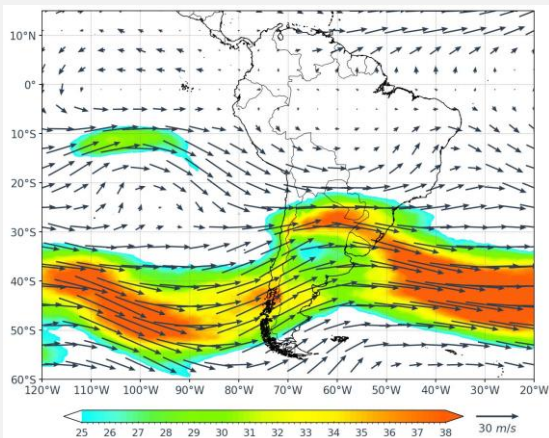
En superficie, el APS presentó una configuración zonal con núcleo ubicado aproximadamente entre los 25°S y 30°S sobre el Pacífico suroriental, con valores cercanos a 1020 hPa, mostrando una ligera intensificación respecto a su posición climatológica. Asimismo, el AAS predominó más intenso de lo normal y con una mayor extensión hacia el continente, favoreciendo el incremento de presión sobre Brasil, Paraguay, Bolivia y el norte de Argentina. Por otro lado, se observó el paso de altas migratorias sobre el centro-sur de Sudamérica, contribuyendo al fortalecimiento del campo de presión en dichos sectores.

En niveles bajos, predominó una circulación anticiclónica asociada al APS sobre el Pacífico suroriental, favoreciendo flujos de componente sur y sureste frente a la costa occidental de Sudamérica. Asimismo, prevalecieron flujos de componente este sobre la Amazonía, favoreciendo el transporte de humedad hacia el norte y centro del continente. Los mayores incrementos de velocidad del viento se registraron sobre el extremo sur de Sudamérica, principalmente entre Chile y Argentina, con velocidades cercanas a 14 m/s.

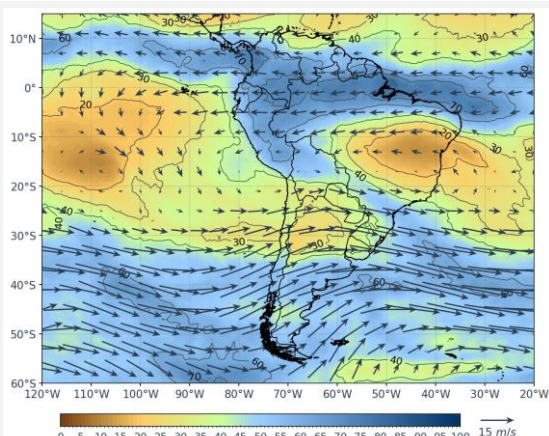
# ANÁLISIS

## Primera decadiaria

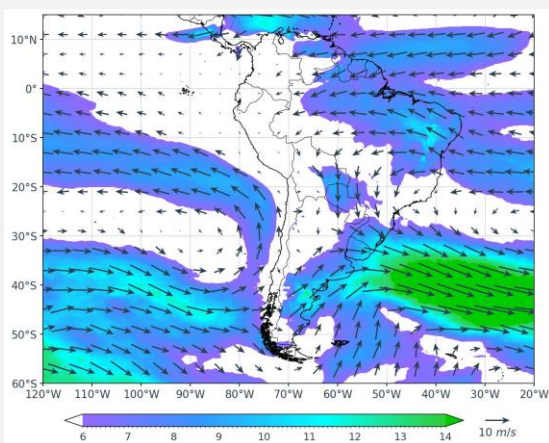
NIVELES ALTOS  
Viento (m/s) – 250 hPa



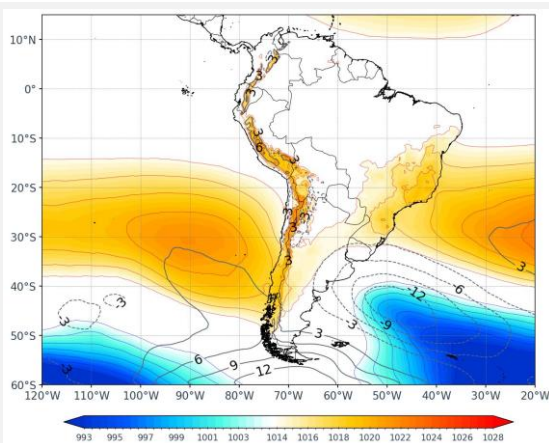
NIVELES MEDIOS  
Viento (m/s) – 500 hPa/ Humedad (%)



NIVELES BAJOS  
Viento (m/s) – 850 hPa



SUPERFICIE  
Presión reducida a nivel del mar



En niveles altos, prevaleció una circulación predominantemente zonal sobre Sudamérica, con flujos del oeste dominando desde los 15°S hacia latitudes mayores. Esta configuración estuvo influenciada por una onda de gran escala que presentó una vaguada sobre el sur de Chile y Argentina. Asimismo, el Jet Subtropical (JS) se mantuvo acoplado al ramal norte del Jet Polar (JP), extendiéndose entre los 30°S y 45°S y alcanzando velocidades cercanas a 38 m/s. La ubicación del eje del JS favoreció condiciones de divergencia en altura sobre la Amazonía occidental y sectores de la sierra oriental peruana.

En niveles medios, el mayor contenido de humedad se concentró sobre la Amazonía occidental y central, con valores entre 70 % y 90 %, extendiéndose hacia sectores de la sierra oriental del Perú. Asimismo, predominaron flujos de componente este sobre la región tropical de Sudamérica, favoreciendo el transporte de humedad desde la cuenca amazónica hacia Perú, Bolivia, Ecuador y Colombia. Por otro lado, sobre el Pacífico oriental subtropical y sectores del centro-sur de Sudamérica prevalecieron menores contenidos de humedad, con valores inferiores al 50 %, asociados a condiciones relativamente más estables.

En superficie, el APS presentó una configuración zonal con núcleo ubicado alrededor de los 30°S y 90°W, con valores cercanos a 1024 hPa, mostrando una ligera intensificación respecto a su posición climatológica. Asimismo, se observó una extensión de las altas presiones hacia el Pacífico suroriental frente a la costa occidental de Sudamérica. Por otro lado, se evidenciaron bajas presiones sobre el extremo sur del continente y el Atlántico sur occidental, asociadas al tránsito de sistemas frontales y bajas migratorias. En niveles bajos, predominó una circulación anticiclónica sobre el Pacífico suroriental asociada al APS, favoreciendo flujos de componente sur y sureste a lo largo de la costa occidental de Sudamérica. Asimismo, prevalecieron flujos de componente este sobre la región amazónica, favoreciendo el transporte de humedad hacia el norte y centro del continente. Los vientos más intensos se registraron sobre el extremo sur de Sudamérica, principalmente entre el sur de Chile y Argentina, con velocidades cercanas a 14 m/s.

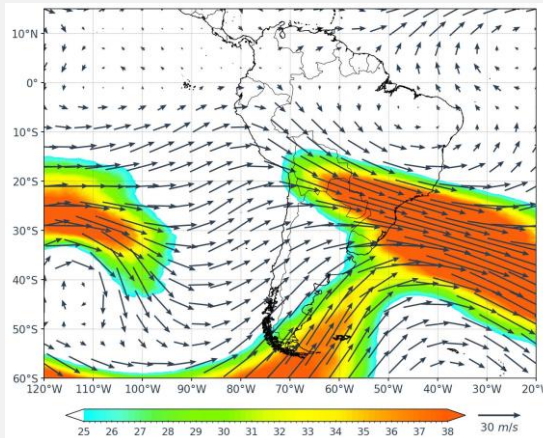
# ANÁLISIS

## Segunda decadiaria

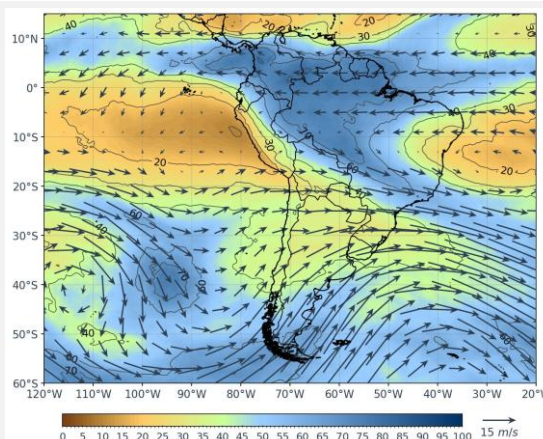
En niveles altos, predominó una circulación zonal sobre gran parte de Sudamérica, con flujos del oeste desde los 15°S hacia latitudes mayores. Asimismo, prevaleció una onda que presentó una vaguada sobre el sur de Chile y Argentina, favoreciendo condiciones de inestabilidad sobre dicho sector. Por otro lado, el JS se presentó acoplado al ramal norte del JP desde los 70°W hasta el Atlántico sur, alcanzando velocidades promedio máximas cercanas a los 38 m/s.

En niveles medios, en gran parte del norte de Sudamérica predominó el contenido de humedad entre 60 % y 80 %, principalmente sobre Perú, Brasil, Colombia, Venezuela y demás países del extremo norte del continente, debido a la persistencia de flujos de componente este. Asimismo, prevalecieron flujos del oeste desde los 15°S hacia latitudes mayores, asociados a una onda que se reflejó desde niveles altos y presentó una vaguada sobre el sur de Chile y Argentina. También se observaron patrones de circulación anticiclónica sobre el Pacífico subtropical y el Atlántico sur occidental, favoreciendo el ingreso de aire relativamente seco (menor al 40 % de humedad) sobre sectores del centro y sur de Sudamérica, principalmente sobre Chile, Argentina y el sur de Brasil.

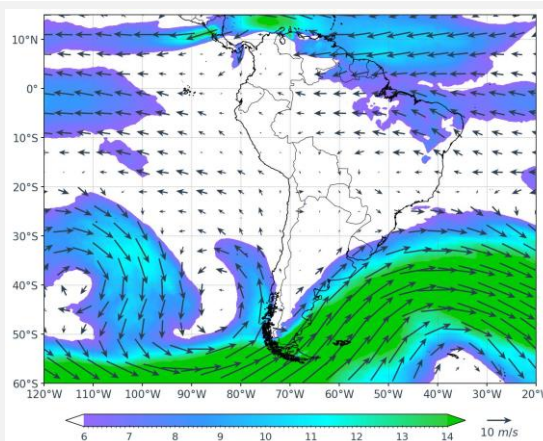
En superficie, el APS presentó una configuración zonal con núcleo alrededor de los 45°S y 90°W, con valores de presión cercanos a 1024 hPa, más intenso respecto a lo climatológico y desplazado hacia el sureste. Asimismo, el AAS mostró una intensificación respecto a su posición media de mayo. Por otro lado, se observó un incremento de presión sobre Argentina, Uruguay y el sur de Brasil, asociado al tránsito de altas migratorias (AM). En niveles bajos, predominó una circulación anticiclónica asociada al APS sobre el Pacífico suroriental, favoreciendo flujos de componente sur y sureste sobre la costa occidental de Sudamérica. Asimismo, prevalecieron flujos de componente este sobre el norte del continente, favoreciendo el transporte de humedad hacia la Amazonía occidental. Los mayores incrementos de velocidad del viento se observaron sobre el extremo sur de Sudamérica, principalmente entre Chile y Argentina, con velocidades cercanas a 14 m/s.



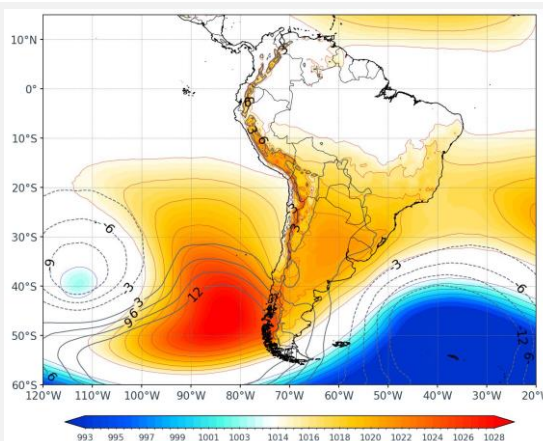
NIVELES ALTOS  
Viento (m/s) – 250 hPa



NIVELES MEDIOS  
Viento (m/s) – 500 hPa / Humedad (%)



NIVELES BAJOS  
Viento (m/s) – 850 hPa

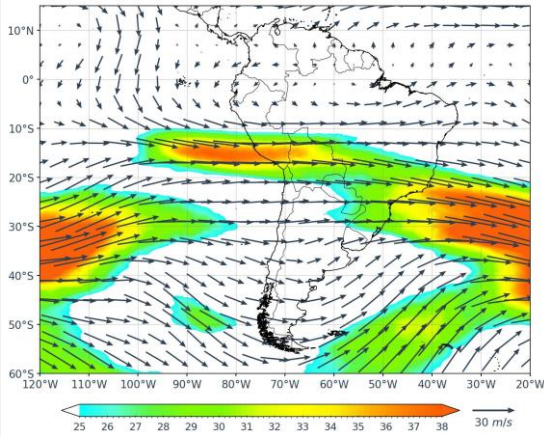


SUPERFICIE  
Presión reducida a nivel del mar

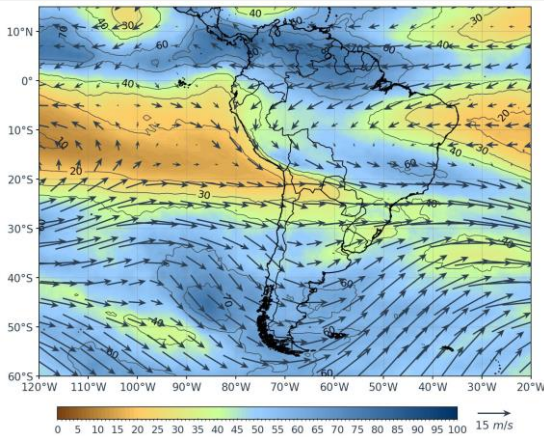
# ANÁLISIS

## Tercera decadiaria

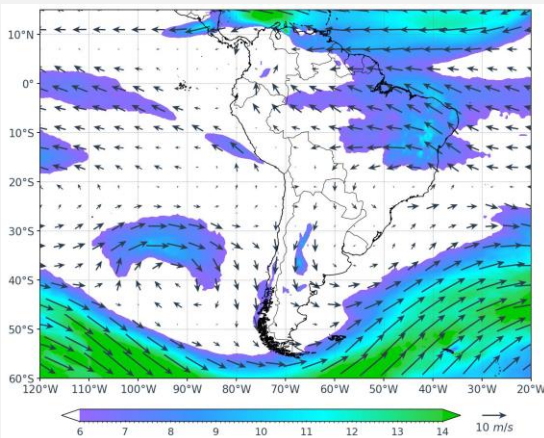
NIVELES ALTOS  
Viento (m/s) – 250 hPa



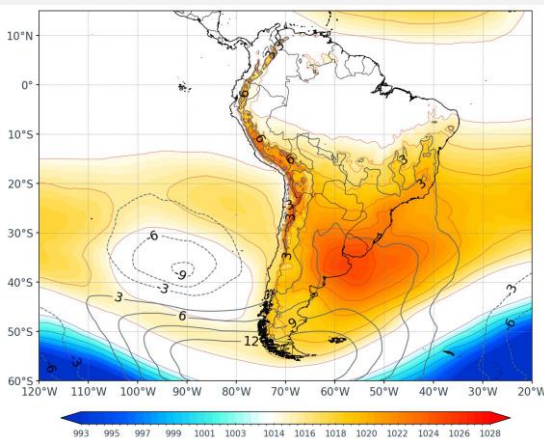
NIVELES MEDIOS  
Viento (m/s) – 500 hPa/ Humedad (%)



NIVELES BAJOS  
Viento (m/s) – 850 hPa



SUPERFICIE  
Presión reducida a nivel del mar

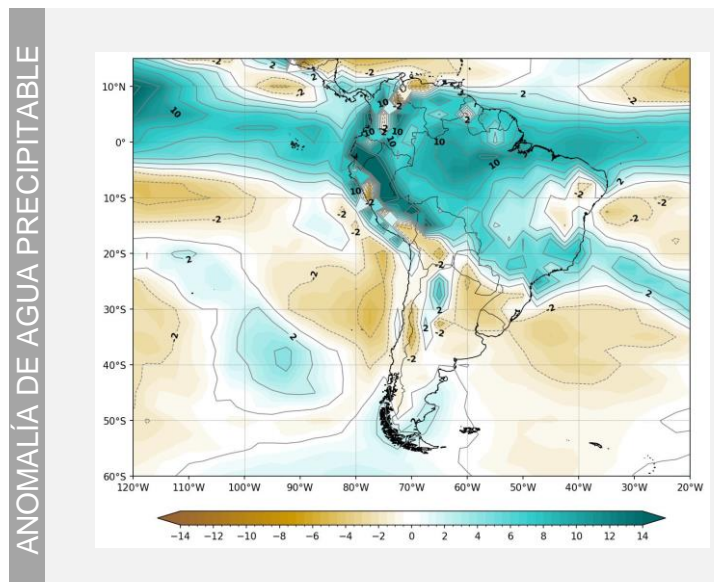
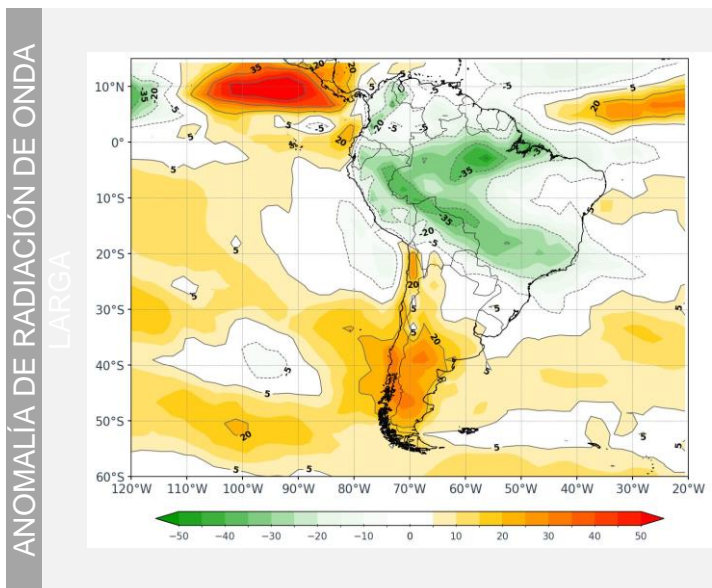


En niveles altos, predominó una circulación zonal sobre gran parte de Sudamérica, con flujos del oeste desde los 15°S hacia latitudes mayores. Asimismo, el Jet Subtropical (JS) se presentó fortalecido y extendido desde el Pacífico central hacia el Atlántico sur, entre los 15°S y 30°S, alcanzando velocidades promedio máximas cercanas a los 38 m/s. Además, una vaguada sobre el Pacífico suroriental favoreció condiciones de divergencia en altura sobre la sierra centro y sur del Perú, contribuyendo al desarrollo de nubosidad y precipitaciones, principalmente entre el 24 y 26 de mayo

En niveles medios, en gran parte del norte de Sudamérica predominó el contenido de humedad entre 60 % y 80 %, principalmente sobre Perú, Brasil, Colombia, Venezuela y Ecuador, debido a la persistencia de flujos de componente este. Asimismo, prevalecieron flujos del oeste desde los 20°S hacia latitudes mayores, asociados a una onda que se reflejó desde niveles altos. También se observó una circulación ciclónica sobre el Pacífico suroriental, favoreciendo el ingreso de aire relativamente seco (menor al 40 % de humedad) sobre sectores del centro y sur de Chile y Argentina.

En superficie, el APS presentó una configuración zonal con núcleo aproximadamente entre los 35°S y 75°W, con valores de presión cercanos a 1022 hPa, mostrando una intensificación respecto a la climatología de mayo y desplazándose hacia el este respecto a su posición media. Asimismo, se observó un incremento de presión sobre el centro-sur de Sudamérica, principalmente sobre Argentina, Paraguay, Bolivia y el sur de Brasil, asociado a la influencia de altas migratorias. En superficie, el APS presentó una configuración zonal con núcleo aproximadamente entre los 35°S y 75°W, con valores de presión cercanos a 1022 hPa, mostrando una ligera intensificación respecto a la climatología y un desplazamiento hacia el este. Asimismo, el AAS se presentó más intenso de lo normal y extendido hacia el continente, favoreciendo un incremento de presión sobre Brasil, Paraguay, Bolivia y el norte de Argentina. Por otro lado, se observó el paso de altas migratorias sobre el centro-sur de Sudamérica, contribuyendo al fortalecimiento del campo de presión en dichos sectores.

# ANÁLISIS MENSUAL

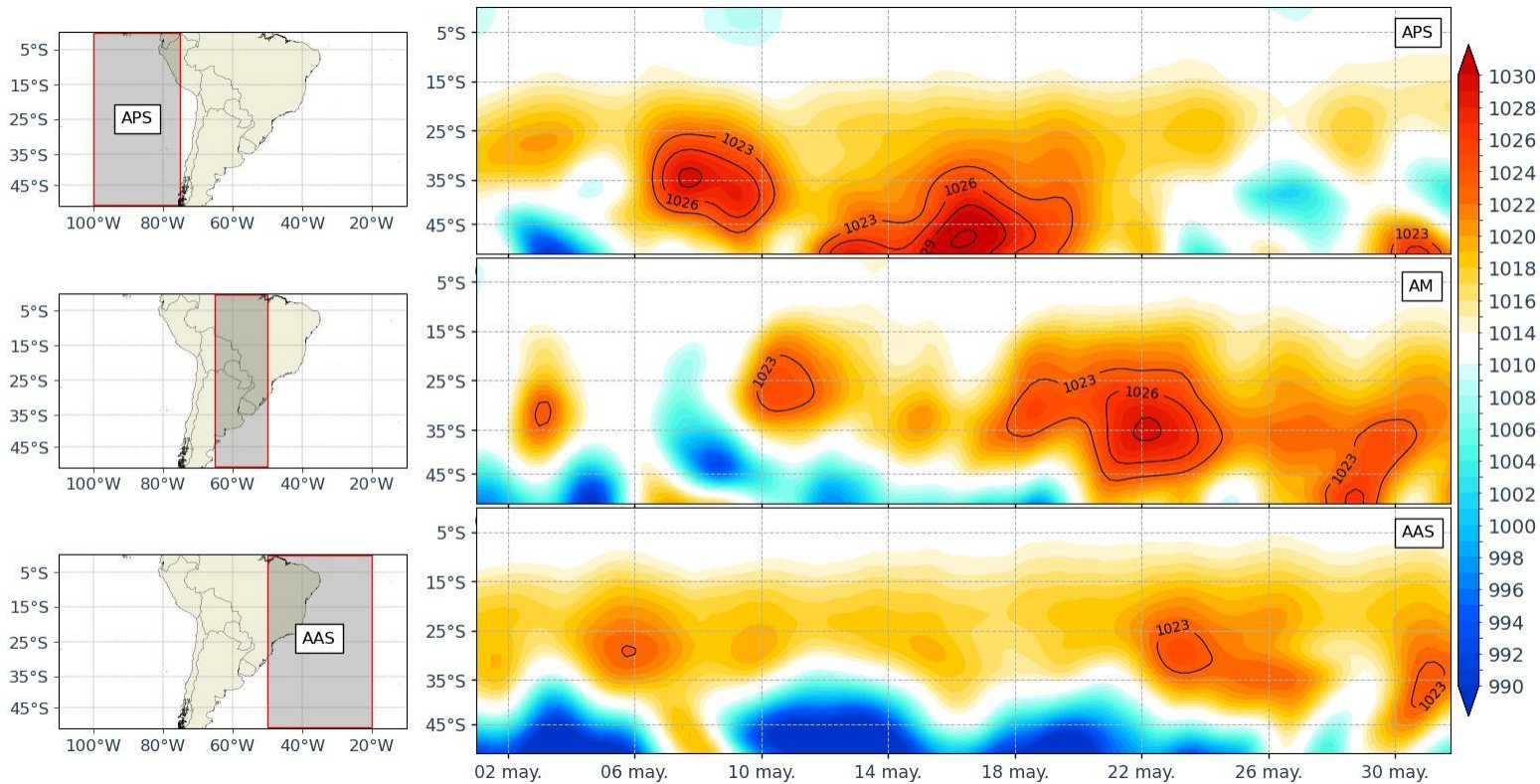


Durante el mes, las anomalías negativas de radiación de onda larga saliente (OLR) se concentraron sobre gran parte de la Amazonía occidental y central, incluyendo sectores de Perú, Bolivia, Brasil y Colombia, indicando una mayor cobertura nubosa y una intensificación de la actividad convectiva respecto a lo normal. En contraste, sobre el extremo sur de Sudamérica predominaron anomalías positivas de OLR, asociadas a una menor cobertura nubosa y condiciones relativamente más estables.

Asimismo, las anomalías de agua precipitable mostraron valores positivos sobre gran parte de la Amazonía y la región andina tropical, evidenciando una mayor disponibilidad de humedad atmosférica respecto a su climatología. Los mayores excesos se registraron sobre la Amazonía peruana, Brasil occidental y sectores adyacentes, favoreciendo el desarrollo de nubosidad convectiva y la ocurrencia de precipitaciones por encima de lo normal. Por otro lado, sobre sectores del Pacífico subtropical y el extremo sur del continente se observaron anomalías negativas de humedad, asociadas a una menor disponibilidad de vapor de agua en la atmósfera.

# ANÁLISIS TEMPORAL

## Presión reducida al nivel del mar



Durante el mes de mayo, el Anticiclón del Pacífico Sur (APS) presentó fluctuaciones en su intensidad, predominando valores de presión cercanos a su climatología durante gran parte del mes. Sin embargo, a partir de la tercera decadiaria mostró un fortalecimiento progresivo, alcanzando valores superiores a 1023 hPa desde el 26 de mayo. Asimismo, su núcleo se mantuvo principalmente entre los 25°S y 40°S.

Por otro lado, el Anticiclón del Atlántico Sur (AAS) presentó una mayor intensidad durante la segunda y tercera decadiaria, superando los 1023 hPa en varios periodos del mes y alcanzando valores cercanos a 1026 hPa hacia el 23 de mayo. Esta configuración favoreció una mayor influencia de las altas presiones sobre el este y centro de Sudamérica.

Respecto a las altas migratorias (AM), se identificaron eventos de fortalecimiento alrededor del 12, 23 y 30 de mayo, con valores superiores a 1023 hPa. Estos episodios estuvieron asociados al desplazamiento de sistemas anticiclónicos hacia el continente y al ingreso del noveno y décimo friaje del año sobre la Amazonía peruana.

**Director de Meteorología y Evaluación  
Ambiental Atmosférica**

Grinia Jesus Avalos Roldan  
[gavalos@senamhi.gob.pe](mailto:gavalos@senamhi.gob.pe)

**Subdirector de Predicción Meteorológica**

Elida Rosario Julca Bocanegra  
[ejulca@senamhi.gob.pe](mailto:ejulca@senamhi.gob.pe)

**Elaboración y redacción:**

Janet Huaman Vargas  
[jhuamanv@senamhi.gob.pe](mailto:jhuamanv@senamhi.gob.pe)

.....  
Para mayor información sobre los avisos meteorológicos, visite este link :  
<http://www.senamhi.gob.pe/avisos>

.....  
Próxima publicación: JULIO 2026  
.....



**Servicio Nacional de  
Meteorología e Hidrología del  
Perú - SENAMHI**

Jr. Cahuide 785, Jesús María  
Lima - Perú



**Central telefónica: 614-1414**

**Unidad Funcional de Atención al  
Ciudadano:  
470-2867**

**Pronóstico: 614-1407 o 265-8798**  
(Atención las 24 horas vía WhastApp)

**Consultas y sugerencias:**

[pronosticador@senamhi.gob.pe](mailto:pronosticador@senamhi.gob.pe)